

20. Раушенбах Б. В. Вибрационное горение. М.: ГИФМЛ, 1961.
21. Соболев А. В. О вопросу об измерениях пульсаций в струях. — В кн.: Вопросы газодинамики. Новосибирск, 1975.
22. Седельников Т. Х. Автоколебательное шумообразование при истечении газовых струй. М.: Наука, 1971.
23. Хуссейн А. К. М. Ф., Кларк А. Р. Определение статистической связи между размерами и конвективной скоростью турбулентных структур в плоской и круглой струях. — РТГ, 1981, т. 19, № 1.

Поступила 29/VIII 1984 г.

УДК 532.526

## О РОЛИ ПЕРВОЙ И ВТОРОЙ МОД ВОЗМУЩЕНИЙ В ПРОЦЕССЕ ПЕРЕХОДА СВЕРХЗВУКОВОГО ПОГРАНИЧНОГО СЛОЯ

*B. I. Лысенко*

(Новосибирск)

В настоящее время еще нет законченной теории, позволяющей предсказать положение перехода ламинарного сжимаемого пограничного слоя в турбулентный. Для практических целей используются приближенные методы, как правило, основанные на применении линейной теории устойчивости, разработанной уже достаточно хорошо (см., например, [1]). При отсутствии информации о начальном спектре возмущений в пограничном слое (например, при летных испытаниях) возможно использование (конечно, грубого) метода  $e^n$  предсказания положения перехода, хорошо себя зарекомендовавшего при дозвуковых скоростях как в «трубных», так и в летных экспериментах, в том числе и для пространственных пограничных слоев (см., например, [2]). В этом методе положение перехода фиксируется при достижении отношения амплитуд возмущения  $A = Q/Q_0$  значения  $e^n$  ( $Q_0$  — амплитуда возмущения на нижней ветви кривой нейтральной устойчивости,  $Q$  — текущая величина амплитуды,  $n$  задано), представляющего собой коэффициент усиления возмущений в неустойчивой области. Число Рейнольдса перехода, определенное таким путем, является интегральной характеристикой устойчивости течения в пограничном слое. С его помощью можно особенно наглядно сопоставить вклад первой и второй мод возмущений в развитие неустойчивых колебаний в пограничном слое, проследить за влиянием на обе моды различных факторов. Сопоставление характеристик устойчивости (коэффициентов нарастания, нейтральных кривых, условных чисел Рейнольдса перехода) первой и второй мод возмущений — основная цель данной работы.

1. За основу взята программа расчета коэффициентов нарастания возмущений  $\alpha_i$  в пограничном слое при теплообмене [3]. Методика расчета характеристик устойчивости подробно изложена в [1, 4].

Рассмотрено течение сжимаемого теплопроводного газа в двумерном пограничном слое (систему уравнений см., например, в [5]). Расчеты проведены для воздуха и непроницаемой поверхности с заданной температурой стенки. Почти все расчеты выполнены для безградиентного течения на конусе. Исключение составляли лишь исследования по влиянию градиента давления на коэффициенты нарастания.

Система уравнений, описывающая течение в пограничном слое, преобразовывалась в систему обыкновенных дифференциальных уравнений (для градиентного течения предполагалось локальное подобие [5]), которая интегрировалась численно (см. подробнее [1]). В результате интегрирования найдены распределения продольной скорости, температуры, их производных и вязкости поперек пограничного слоя, которые требовалось при решении уравнений устойчивости. Для определения коэффициентов нарастания возмущений использовалась система уравнений устойчивости в приближении Дана — Линя [6] с граничными условиями: обращение на стенке в нуль возмущений продольной, нормальной скоростей и температуры и их затухание в бесконечности.

Метод решения системы уравнений Дана — Линя с данными граничными условиями описан в [1]. Введены новые переменные, и система уравнений Дана — Линя (в частных производных) преобразована в систему

шести обыкновенных дифференциальных уравнений первого порядка. Ее интегрирование проведено численно с использованием методики ортогонализации. В расчетах приняты число Прандтля  $\text{Pr} = 0,72$ , постоянная адиабаты  $\gamma = 1,41$ , закон изменения вязкости от температуры по Саттерленду  $\mu = cT^{3/2}/(T + T_s)$  ( $c = \text{const}$ ,  $T_s = 110,4$  К).

Результаты интегрирования позволяли получать информацию о трехмерных возмущениях в виде зависимости  $\alpha_i = \Phi(\text{Re}, F, \chi)$ , где  $F = \omega/\text{Re}$  ( $\omega$  — круговая частота),  $\chi$  — угол распространения возмущений (угол наклона волны по отношению к основному течению),  $\text{Re}$  — число Рейнольдса. Число Рейнольдса для случая обтекания конуса определяется как  $\text{Re} = \sqrt{u_e s / v_e \beta}$ , где  $u$  — продольная скорость,  $v$  — кинematicкая вязкость,  $s$  — координата вдоль поверхности тела, индекс  $e$  означает, что параметры взяты на границе пограничного слоя. При решении задачи принималось, что  $\omega$  вещественная и  $\beta_r/\alpha_r = \beta_i/\alpha_i$ , [7], где  $\alpha = \alpha_r + i\alpha_i$  — волновое число возмущения в продольном направлении, а  $\beta = \beta_r + i\beta_i$  — волновое число в боковом направлении. Тогда  $\chi = \arctg(\beta_r/\alpha_r)$ .

Степень пространственного нарастания возмущения связана с амплитудой возмущения  $Q$  соотношением  $\text{Real}(d \ln Q/ds) = -\frac{\alpha_i^{\text{разм}}}{\text{Re}}$ . Отсюда и из определения  $\text{Re}$  следует, что для конуса  $\ln |Q/Q_0| = -6 \int_{\text{Re}_0}^{\text{Re}} \alpha_i d\text{Re}$  ( $\alpha_i$  — безразмерная степень нарастания). Это выражение определяет отношение амплитуд возмущений в точках с координатами  $\text{Re}$  и  $\text{Re}_0$ , которое представляет собой коэффициент усиления возмущения на рассматриваемом участке.

В отличие от дозвуковых скоростей (где наиболее неустойчивы двумерные возмущения) при  $M > 1$  необходимо рассматривать  $\alpha_i = \alpha_i(\text{Re}, F, \chi)$  ( $\chi$  — угол распространения возмущений). Причем максимальные —  $\alpha_i$  при  $M = 1,5—7$  для первой моды возмущений достигаются в диапазоне  $\chi \approx 50—70^\circ$  (для второй моды наиболее неустойчивы двумерные возмущения). В данной работе расчеты проведены для критического угла  $\chi^*$ , определенного как угол, при котором интеграл

$$-6 \int_{\text{Re}_0}^{\text{Re}} \alpha_i d\text{Re}$$

наиболее быстро достигал требуемой величины  $n$  ( $n = 9$ ),

т. е. при  $\chi = \chi^*$  число Рейнольдса, найденное при  $A = e^n$ , минимально (условно оно принимается за число Рейнольдса перехода  $\text{Re}_n$ );  $\text{Re}_n$ , являющееся интегральной (учитывающей как коэффициенты нарастания, так и нейтральные кривые) характеристикой устойчивости пограничного слоя, рассматривается как основная величина при сопоставлении характеристик устойчивости первой (низкочастотной) и второй (высокочастотной) мод возмущений. При равномерно распределенном спектре энергии пульсаций в пограничном слое положение перехода определяется той модой, для которой  $\text{Re}_n$  меньше.

Как известно, колебания первой моды возмущений полностью аналогичны волнам Толлмина — Шлихтинга, хорошо известным в теории гидродинамической устойчивости несжимаемой жидкости. Например, при охлаждении поверхности тела, обтекаемого воздухом, профили скорости, плотности и температуры осредненного течения меняются таким образом, что течение становится более устойчивым по отношению к возмущениям первой моды.

Колебания второй моды возмущений представляют собой разновидность акустического резонанса в течении со сдвигом. Этот тип неустойчивости обнаружен в [8, 9]. Влияние ряда факторов на коэффициенты нарастания второй моды исследовано в [10]. Было выяснено, что наклонные возмущения этого типа ( $\chi \neq 0$ ) более устойчивы по сравнению с двумерными возмущениями ( $\chi = 0$ ), а охлаждение поверхности модели оказывает на них слабое дестабилизирующее влияние. Однако определение та-

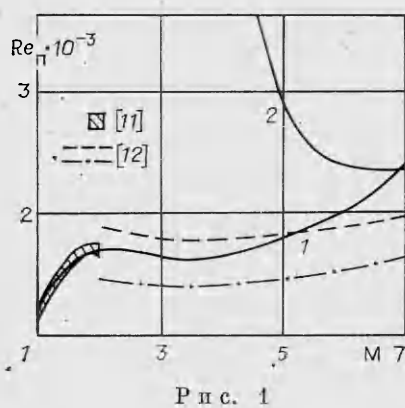


Рис. 1

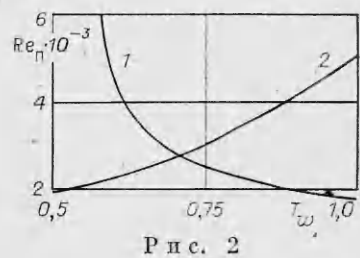


Рис. 2

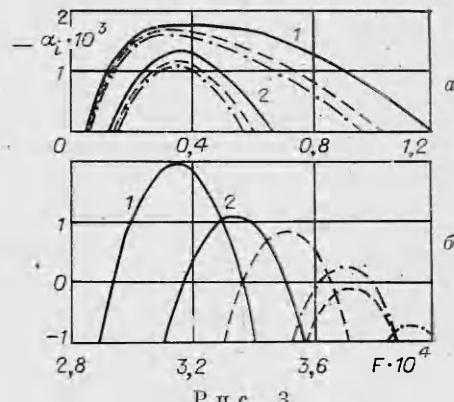


Рис. 3

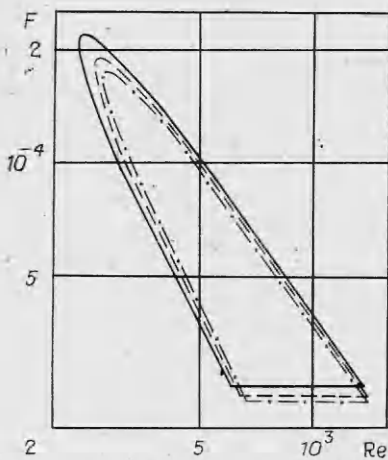


Рис. 4

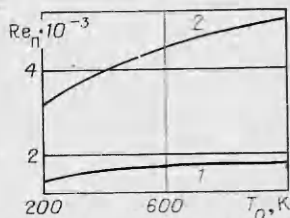


Рис. 5

кой интегральной характеристики, как  $Re_{\pi}$ , для второй моды не проводилось.

2. Характеристики устойчивости в работе рассчитаны при  $M = 1 - 7$ , температуре торможения  $T_0 = 210 - 1000$  К и температурном факторе  $T_w = 0,5 - 1,0$ , а коэффициенты нарастания — при небольшом изменении градиента скорости (давления)  $\beta = (2s/u_e)du_e/ds = 0; 0,01$  и  $0,1$  ( $s = \int_0^s u_e v_e \rho_e^2 r_w^2 ds$ ,  $\rho$  — плотность,  $r_w(s)$  — уравнение поверхности тела).

Результаты некоторых расчетов приведены на рис. 1—5. На рис. 1 показано изменение полученного  $Re_{\pi}$  для первой (кривая 1) и второй (кривая 2) мод возмущений при  $M = 1 - 7$  для теплоизолированного конуса ( $T_w = 1$ ,  $\beta = 0$ ). Статическая температура для всех чисел Маха одинаковая ( $T_e = -50^\circ\text{C}$ ). На рис. 1 проведено сравнение расчетных данных и экспериментальных (летных испытаний на F-15 (конус,  $T_w = 1$ ) [11] и баллистических испытаний [12] (конус,  $T_w = \text{var}$ )); штриховая линия соответствует  $Re_1 = (u/v)_\infty = 28 \cdot 10^6 \text{ м}^{-1}$ , штрихпунктирная —  $Re_1 = 11 \cdot 10^6 \text{ м}^{-1}$ . В целом (а особенно при  $M = 1 - 4$ ) рассчитанные и реальные (полученные на натуре)  $Re_{\pi}$  хорошо коррелируют между собой, что свидетельствует о возможности оценок положения перехода методом  $e^n$  ( $n \approx 9$ ). Эксперименты и расчеты показывают, что для первой моды возмущений в зависимости  $Re_{\pi} = Re_{\pi}(M)$  при  $T_w = 1$  и  $\beta = 0$  существуют локальные максимум (при  $M \approx 2$ ) и минимум (при  $M \approx 3,5 - 4$ ), для второй моды возмущений в аналогичной зависимости — один минимум (при  $M \approx 6,5 - 7$ ). При увеличении числа Маха (начиная с  $M \approx 7$ )

растет  $Re_{\pi}$ , как для первой, так и для второй моды. И примерно при  $M > 7$  для равномерно распределенного спектра энергии пульсаций положение перехода уже будет определять не первая, а вторая мода возмущений.

Нужно также подчеркнуть, что о поведении такой интегральной характеристики, как  $Re_{\pi}$ , далеко не всегда можно судить на основании взятых в отдельности зависимостей (в данном случае от числа Маха) критического числа Рейнольдса  $Re_{kp}$  (минимального числа Рейнольдса, при котором на какой-либо частоте начинается рост возмущений) и максимальных коэффициентов нарастания возмущений. В частности, при уменьшении  $M$  в диапазоне  $M = 1-4$  постоянно растут и  $Re_{kp}$ , и  $(-\alpha_i)_{max}$ , однако в зависимости  $Re_{\pi} = Re_{\pi}(M)$  есть максимум при  $M \approx 2$  (что отлично коррелирует с летными данными [11]). С другой стороны, максимальные коэффициенты нарастания второй моды становятся больше максимальных коэффициентов нарастания первой моды уже при  $M \geq 4$ , а для интегральных характеристик  $Re_{\pi}$  это происходит при  $M > 7$ . Для второй моды максимум зависимости  $(-\alpha_i)_{max}$  от  $M$  лежит при  $M \approx 5$ , а минимум зависимости  $Re_{\pi}(M)$  — при  $M = 6,5-7$ . Все это говорит о необходимости для оценок положения перехода расчета именно интегральной характеристики  $Re_{\pi}$ .

На рис. 2 приведены зависимости  $Re_{\pi}$  для первой (кривая 1) и второй (кривая 2) мод возмущений от температурного фактора ( $T_w = 0,5-1,0$ ) при  $M = 4$  и  $T_0 = 937$  К ( $T_w$  — отношение температуры стенки к температуре восстановления). Видно, что уже для  $T_w \leq 0,7$  при равномерно распределенном спектре возмущений положение перехода определяет не первая, а вторая мода; она же является определяющей для  $T_w < 0,55$  практически при любом реальном спектре. Характер приведенных на рис. 1, 2 зависимостей подтверждается экспериментами [13], выполненными при  $M = 8$  и  $T_w = 0,93$  и  $0,48$ , где показано, что число Рейнольдса перехода, вызванного второй модой, при уменьшении  $T_w$  падает.

Рис. 3 демонстрирует влияние градиента давления на коэффициенты нарастания возмущений  $\alpha_i$  первой (a) и второй (b) мод при  $M = 4$  и  $Re = 780$  ( $F$  — безразмерная частота). Видно значительное стабилизирующее влияние отрицательного градиента давления на характеристики устойчивости, особенно второй моды. Так как влияние  $\beta$  на вторую моду более значительно, чем на первую, то на рис. 3, a приведены  $\alpha_i$  при  $\beta = 0$  и  $0,1$  (линии 1, 2), а на рис. 3, b — при  $\beta = 0$  и  $0,01$  (линии 1, 2).

На рис. 3—5 ( $T_w = 1$ ) показано влияние на характеристики устойчивости течения (коэффициенты нарастания возмущений, кривые нейтральной устойчивости и условное число Рейнольдса перехода) температуры торможения  $T_0$ : сплошные кривые —  $T_0 = 300$  К, штриховые — 600 К, а штрихпунктирные — 900 К. На рис. 5 линия 1 — первая мода, 2 — вторая мода. Рис. 3—5 показывают, что увеличение  $T_0$  приводит к стабилизации возмущений первой моды (уменьшению  $-\alpha_{i max}$  и увеличению  $Re_{kp}$  и  $Re_{\pi}$ ; на рис. 4 ( $M = 1,5$ ) нейтральные кривые ограничены снизу частотой, на которой достигается  $A = e^0$ , и крайняя правая точка кривой соответствует  $Re_{\pi}$ ). Влияние температуры торможения на характеристики устойчивости усиливается с увеличением числа Маха. Полученные данные соответствуют результатам [10, 14] по влиянию  $T_0$  на  $\alpha_i$  и  $Re_{kp}$  для возмущений первой моды. На вторую моду возмущений при  $M = 4$  (рис. 3, б и 5) увеличение  $T_0$  также оказывает стабилизирующее влияние, причем более сильное, чем на первую моду.

Автор благодарен А. А. Маслову за помощь в работе.

#### ЛИТЕРАТУРА

- Гапонов С. А., Маслов А. А. Развитие возмущений в сжимаемых потоках. Новосибирск: Наука, 1980.
- Левченко В. Я., Володин А. Г., Гапонов С. А. Характеристики устойчивости пограничных слоев. Новосибирск: Наука, 1975.
- Лысенко В. И., Маслов А. А. Влияние охлаждения на устойчивость сверхзвукового пограничного слоя. Препринт ИТПМ СО АН СССР, 1981, № 31.

4. Гапонов С. А., Маслов А. А. Устойчивость сверхзвукового пограничного слоя с градиентом давления и отсасыванием.— В кн.: Развитие возмущений в пограничном слое. Новосибирск: ИТПМ СО АН СССР, 1979.
5. Дорренс У. Х. Гиперзвуковые течения вязкого газа. М.: Мир, 1966.
6. Линь Ц. Ц. Теория гидродинамической устойчивости. М.: ИЛ, 1958.
7. Mack L. M. A numerical method for the prediction of high-speed boundary-layer transition using linear theory.— In: Aerodynamic Analysis Requiring Advanced Computers. NASA — SP — 347, 1975.
8. Mack L. M. The inviscid stability of the compressible laminar boundary-layer.— JPL Space Programs Summary 37—36, 1964, v. 4.
9. Gill A. A. Instabilities of «top-hat» jets and wakes in compressible fluids.— Phys. Fluids, 1965, v. 8, N 8.
10. Mack L. M. Boundary layer stability theory.— Document 900—277, Rev. A. Pasadena, California.— JPL, 1969.
11. Fisher D. F., Dougherty N. S. Jr. In-Flight transition measurement on a 10° cone at Mach numbers from 0.5 to 2.0. NASA—TP — 1971, June 1982. (AIAA Paper N 80—0154; AIAA 18th Aerospace Sciences Meeting, Jan. 14—16, 1980).
12. Beckwith I. E., Bertram M. H. A survey of NASA Langley studies on high-speed transition and the quiet tunnel. NASA—TM—X—2566, 1972.
13. Demetriades A. New experiments on boundary layer stability including wall temperature effects.— In: Proceedings of the 1978 Heat Transfer and Fluid Mechanics Institute, Standford University Press, 1978.
14. Brown W. B. Exact numerical solution of the complete Lees — Lin equations for the stability of compressible flow.— In: Summary of Laminar Boundary Layer Control Research, 1964, v. 2.

Поступила 2/I 1985 г.

УДК 533.6.011

## ЭКСПЕРИМЕНТАЛЬНОЕ ИССЛЕДОВАНИЕ ТЕЧЕНИЯ В МОДЕЛИ КОНВЕРГЕНТНОГО ВОЗДУХОЗАБОРНИКА С ПЛОСКИМИ СТЕНКАМИ

Б. И. Гутов, В. В. Затолока

(Новосибирск)

В последнее время наряду с традиционными двумерными конфигурациями воздухозаборников (плоскими и осесимметричными с центральным телом — дивергентными) все большее внимание исследователей привлекают пространственные конфигурации, несмотря на значительные усложнения получения экспериментальных и расчетных данных об их обтекании. Пространственные конфигурации дают перспективу получать уменьшенные площади стенок каналов [1—3], а также улучшенные характеристики воздухозаборников на нерасчетных режимах [4—6]. Среди них конфигурации конвергентных воздухозаборников (КВЗ) [2—4, 6, 7] дают компактные поперечные сечения каналов и за счет этого, в частности, уменьшает площади их стенок.

В данной работе исследуется течение в модели КВЗ, конфигурация которого построена путем вырезки по линиям тока из течения в воздухозаборниках, рассмотренных в [7] (рис. 1). Течение в таких КВЗ носит существенно пространственный характер, однако на расчетном режиме на участке внешнего сжатия параметры течения идеального газа определяются с помощью простых соотношений для плоских скачков уплотнения. Эти же соотношения можно использовать и для приближенных оценок параметров течения на нерасчетных режимах.

Характерная особенность течения на участке внешнего сжатия КВЗ этого типа — пространственное взаимодействие косых скачков уплотнения с пограничным слоем. Оно может быть весьма сложным (образуются отрывные области, вызывающие изменения структуры внешнего потока) и зависит от многих параметров: чисел Маха и Рейнольдса, состояния пограничного слоя, углов поворота потока в скачках, теплообмена и др. Исследование различных течений с этой особенностью на поверхностях тел посвящено большое число работ (например, [8—10]). Расчет такого типа течений пока не представляется возможным. Поэтому необходимы экспериментальные исследования течения в моделях КВЗ.

Цель данной работы — проверка реализуемости расчетного течения идеального газа, выяснение особенностей взаимодействия скачков уплотнения с пограничным слоем, определение структуры течения на участке внешнего сжатия КВЗ в диапазонах чисел Маха набегающего потока  $M_{\infty}$  и углов атаки  $\alpha$ .

Модель КВЗ (рис. 1) имела расчетное число Маха  $M_{\infty} = 4$ ; угол наклона начального клина  $\vartheta_1 = 9,4^\circ$ ; угол наклона вторичных клиньев  $\vartheta_2 = 13,3^\circ$ ; полуугол между плоскостями щек  $\varphi_2/2 = 55,3^\circ$ ; суммарную